

## بعض خواص ذوبانية زجاج البزموت المرئي الحاوي على ١٥٪ مول من اوكسيد الزنك مع حامض الفسفوريك المركز.

حسين جاسم محمد\*

٢٠٠٦/٤/٣ تاريخ قبول النشر

### الخلاصة:

أجريت دراسة الظروف التجريبية لتفاعل زجاج البزموت المرئي الحاوي على ١٥٪ مول من ZnO مع حامض الفسفوريك المركز بدرجات حرارية مختلفة ومساحات مقطعة معرضة لتفاعل مختلفة بطريقة الفرسن الدوار.

اعطى التفاعل راسب أبيض فوق سطوح الزجاج بهيئة  $\text{BiPO}_4$  الحاوي على ١٪ من ZnO وقد تم حساب سرعة الذوبانية للراسب المتكونة لمساحات مقاطع تفاعل مختلفة تراوحت بين ( $0.49-0.04\text{cm}^2$ ) مع حامض الفسفوريك وبدرجات حرارية مختلفة، وتم عزل الراسب المتكون بالحالة الصلبة ودرست مكونات الراسب بواسطة تحاليل الأشعة السينية.

تم أيضاً حساب طاقة التشيط المؤثرة لمساحات التفاعل المذكورة بدرجات حرارية مختلفة وتراوحت قيم  $\Delta E$  بين ١٠ و ٣٣ كيلوجول/مول.

يتناول هذا البحث الحالى فى الحصول على راسب على سطوح زجاج البرموم المرئي الحاوي على ١٥٪ مول من ZnO الذى تم تخليقه بعد مفاعنته مع حامض الفسفوريك المركز. حيث تم دراسة حركية هذه الراسب وخصائصها الفيزوكيميائية من خلال ميكانيكية التفاعل الحاصلة بدرجات حرارية مختلفة وبازمان مختلفة.

كما تم حساب طاقة التشيط المؤثرة ودراسة فعالية الزجاج المخلق باستخدام الأشعة فوق البنفسجية إضافة إلى مكونات الراسب المتكون فوق سطوح الزجاج.

### الجزء العلمي Experimental

#### A-الأجهزة المستعملة:

- جهاز الفرسن الدوار لدراسة حركة التفاعل بين نماذج زجاج البزموت المرئي الحاوي ZnO ١٥٪ مع حامض  $\text{H}_3\text{PO}_4$  المركز، شكل (١).

- U.V-Visible 160 double beam Spectrophotometer. (Japan)

- فرن الصهر الكهربائي (تمرين عاقي)

#### B-المواد الكيميائية المستخدمة:-

جميع المواد الكيميائية المستخدمة في البحث كانت على درجة عالية من النقاوة والمجهزة من شركة Fluke وBDH.

-- اوكسيد البزموت  $\text{Bi}_2\text{O}_3$

### المقدمة

من الملاحظ انه الدراسات الحديثة تكررت وتدفقت بشكل مستمر ودقيق من اجل الحصول على المتحسينات الكيميائية وكان لتلوث البيئة بالمواد الغازية والمواد الأخرى على اختلاف انواعها الاثر الكبير في أهمية هذه الدراسات.

لقد تعددت أنواع المتحسينات الكيميائية كلاً حسب نوع الدراسة فمنها (الحرارية، الضوئية و التوصيلقو البصرية و الحيوية) وخصاصية التي تكون بشكل طبقة بهيئة راسب فوق سطوح المواد الخامدة الزجاجية والكريستال مثلًا [١، ٢، ٣]. ومن المعروف ان البرموم الثلاثي يمتلك قابلية على تكوين مركبات غير متجانسة بالإضافة الى كون  $\text{Bi}_2\text{O}_{2.3}$  اكسيد  $\text{Bi}-\text{O}$  تتواجد باطوار  $\text{Bi}_2\text{O}_6$  ، وكذلك  $\text{BiO}$  وبعد الطور الاكثر استقرار هو  $\text{Bi}_2\text{O}_3$  في الظروف الاعتيادية [٤، ٥] .

لقد وجد ان لبعض انظمة الكريستال الاحادية وأنظمة الزجاج الدور الكبير في تخليق بعض المتحسينات الكيميائية والتي تتحسن لبعض الغازات وضمن حدود الكشف التي تضاهي المحددة، حيث استخدمت انظمة الكريستال الاحادي  $\text{Bi}_4\text{Ge}_3\text{O}_{12}$  ونظام  $\text{Bi}_{12}\text{GeO}_{20}$  ونظام زجاج  $\text{H}_2\text{S}$ ,  $\text{NH}_3$  [٦] بالإضافة الى هذا ايضاً اعتمدت الطبقات الرقيقة  $\text{Thin film}$  كتحسينات ومنها المتحسينات الكهروكيميائية الحيوية للكشف عن الفينول [٧] .

\* د/ جامعة كربلاء - كلية العلوم للبنات - قسم الكيمياء

المغمور بالحامض وتم تنظيم درجة الحرارة عن طريق حمام مائي ومراقبة درجة الحرارة من خلال المحرار [٨].

بعد اجراء عملية الاذابية في تجربة والزمن اللازم تم اخراج النموذج من بيكر تنفخ داخل الحمام المائي ثم ترك كي يبرد وتم شحن النموذج بالماء الاعتيادي ثم تجري عملية تفريغ لمادة الاصفحة بمساعدة الاستيقون ثم شحن النموذج بعدها ويترك كي يجف ثم يوزن بصورة مضبوطة.

### النتائج والمناقشة

#### Results and discussion

اظهرت دراسة حرکة ذوبانیة زجاج نيزموت المرئي انحاوي على  $(15\%)$  في  $\text{ZnO}$  في حامض الفسفوريك بأن عملية تجسس تكون تراويب فوق سطح نماذج الزجاج كانت باستخدام سرعة دوران للفرص  $(120)$  دوره/ثانية [٦].

كما دلت النتائج بأن عملية تكون الراسب وزنا فوق سطح النموذج تزداد بنسبة طردية مع زيادة زمن التفاعل عند كل درجة حرارية وكذلك نسبة الراسب وزنا عند زيادة درجة الحرارة وبنفس الفترة الزمنية المستخدمة للتفاعل.

فقد لوحظ انه عند استخدام المساحات الصغيرة  $(0.09-0.04\text{cm}^2)$  المتفاعل عند زيادة زمن التفاعل تقل سرعة الذوبانية جدول (١)، شكل (٢-٣) وقد تم حساب سرعة الذوبانية باستخدام العلاقة:-

$$V_s = \frac{\Delta m \times 10^4}{S.t. \theta}$$

حيث :

$\Delta m$  = الفدان في وزن النموذج (gm).

$S$  = مساحة المقطع المتفاعل ( $\text{cm}^2$ ).

$t$  = زمن اجراء التجربة لكل نموذج min.

$\theta$  = سمك زجاج البزموم المرئي ( $\text{gm/cm}^3$ ).

$V_s$  = سرعة الذوبانية  $\mu \text{ M/min}$

تم حساب RSD لنماذج التفاعل عدة مرات حيث بلغ  $0.2$ .

- أوكسيد البورون  $\text{B}_2\text{O}_3$
- أوكسيد الزنك  $\text{ZnO}$
- حامض الفسفوريك المركز  $\text{H}_3\text{PO}_4$  (%) ٨٦
- مادة لاصقة نوع (Fuo) China.
- الاستيون  $\text{CH}_3\text{CO CH}_3$

#### ج- طريقة عمل النماذج: Preparation of Samples

تم تخليل النماذج الخاصة بالبحث المتمثلة بزجاج البرموم المرئي الحاوي على  $15\%$  مول  $\text{ZnO}$  وذلك بخلط (7gm) مزيج من اوكسيد البزموم مع اوكسيد البورون والزنك في وعاء خزفي ثم مزجها جيدا ثم نقلت الى بودقة بعدها نقلت البودقة الى فرن الصهر الكهربائي حيث كانت درجة حرارة الفرن محسوبة بين  $(950-1000)\text{C}^\circ$ .

بعد مرور ساعتين من عملية الصهر تم اخراج الجفنة من الفرن الكهربائي واجريت عملية صب منصهر زجاج البزموم وبشكل سريع في وعاء خزفي عريض بحيث يتخذ النموذج شكل دائري بعد عملية سكبها. تترك النماذج كي تبرد لفترة نصف ساعة بعدها تصبح جاهزة لغرض الدراسة.

#### د - طريقة عمل حرکة الذوبانية بواسطة القرص الدوار

#### Procedure of Kinetic Solubility by rotary disc.

تضمنت دراسة حرکة ذوبانیة نماذج الزجاج في حامض الفسفوريك المركز وذلك بتحديد مساحة مقطع تفاعل على كل نموذج حيث تراوحت هذه المساحات بين  $(0.09-0.04\text{cm}^2)$  كمساحات صغيرة  $(0.49-0.25\text{cm}^2)$  كمساحات كبيرة.

وزنت النماذج التي تم الحصول عليها بدقة بعد تحديد هذه المساحات تم تغطية النموذج الزجاجي بمادة لاصقة كيميائية عدا المساحة المذكورة وبحيث لا يسمح للجزء المغطى بالتفاعل مع حامض الفسفوريك المركز علماً بان المادة الكيميائية الاصفحة تكون ثابتة عند ظروف التفاعل من درجات الحرارة والحامض المستخدم.

تركت النماذج بعد طلائها بالاصق للجاف ولمندة (٢٠) دقيقة ثم نقلت النماذج الى بيكر حاوي على حامض الفسفوريك المركز. ثم بعد ذلك تنقل الى جهاز القرص الدوار (شكل ١) حيث يتم العمل بعد تحريك الحامض بواسطة القرص وكانت سرعة القرص المختارة في الدراسة ١٢٠ دوره/ثانية فوق سطح النموذج

**جدول (٣) قيم طاقة التنشيط الفعالة (كيلو جول/مول) لزجاج البزمومت المرئي الحاوي على ١٥% مول ZnO وبمساحات مختلفة.**

t(min)	S=(0.04 cm <sup>2</sup> )	S=(0.49cm <sup>2</sup> )
10	31	15
15	33	17
20	30	12
25	29	11
30	30	10

يظهر انخفاض قيم طاقة التنشيط يظهر بشكل واضح والذي يعطي صورة عن عملية انتراز - ابتزاز الذرات بين طبقة الراسب خلال عملية الاذابة .

علاوة على ذلك ان سرعة الذوبانية عند المساحات الكبيرة للتفاعل تكون اقل اذا ما قورنت مع المساحات الصغيرة جدول (٢) وأيضاً تغير المنحنى لسرعة الذوبانية مقابل الزمن  $V_s = f(t)$  شكل (٤-٥).

بالإضافة الى هذا تم دراسة سرعة الذوبانية ( $V_s$ ) بالتفصيل مع مساحة المقطع المتفاعل ( $S$ ) لزجاج البزمومت المرئي. الحاوي على ١٥% مول ZnO وقد بينت النتائج التي تم الحصول عليها انه في حالة المساحات الصغيرة ترتفع سرعة الذوبانية بحدة وهذا ما يميزها عن المساحات الكبيرة  $(0.49-0.25\text{cm}^2)$  التي يكون قيمتها واطئة وقليلة التغير شكل (٦).

وهذا يعزى الى حركية التفاعل المذكورة بين المواد المتفاعلة [٩] .

أعطت دراسة لأشعة فوق البنفسجية U.V للنماذج الزجاجية في المنطقة البلورية انها تمتلك قمة امتصاص في هذه المنطقة وبالتالي اظهر الزجاج الذي تم تخليقه انه يمتص الأشعة فوق البنفسجية عند الطول الموجي 190nm.

من جهة أخرى أعطت الدراسة البحثية حول مكونات الراسب المكونة خلال عملية الاذابة للزجاج المرئي للبزمومت مع حامض الفسفوريك المركز من خلال تحاليل الأشعة السينية بأن الراسب المكون هو  $\text{BiPO}_4$  (فوسفات البزمومت) الحاوية على ١% او كثيد الزنك. كما أجريت دراسات تطبيقية أخرى لهذه الرواسب المكونة بعد مفاعಲتها وتم استخدامها كمتحسسات حيث أثبتت فعاليتها الحساسة تجاه غازات كبريتيد الهيدروجين وبخار الماء .

**جدول (١) قيم سرعة ذوبانية زجاج البزمومت المرئي الحاوي على ١٥% مول من ZnO في  $\text{H}_3\text{PO}_4$  في مركز باستخدام مساحة تفاعل ( $0.04-0.09\text{cm}^2$ )**

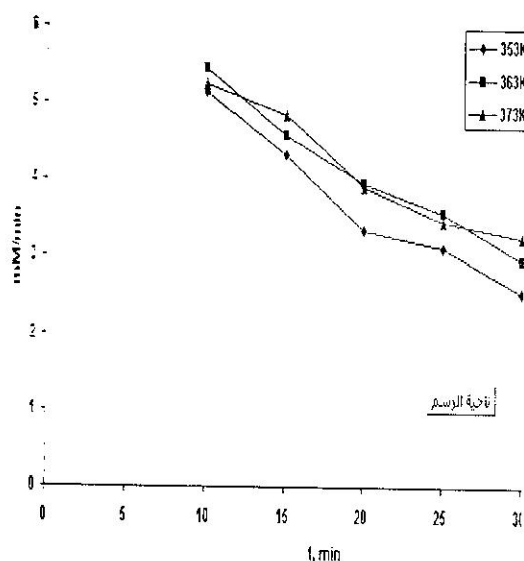
T(min)	$V_s$ For $S=(0.04\text{cm}^2)$		$V_s$ For $S=(0.09\text{cm}^2)$			
	363k	373k	353k	363k	373k	
10	6.11	6.35	6.63	5.13	5.45	5.252
15	5.21	5.38	5.98	4.32	4.56	4.85
20	4.12	4.8	5.08	3.35	3.95	3.92
25	3.2	3.85	4.12	3.12	3.56	3.45
30	2.85	3.21	3.5	2.55	2.95	3.25

كما تم ملاحظة ان طبقة الراسب المكونة في مساحات مقطع التفاعل الصغيرة تتزايد بحيث ان الخطوة المحددة لعملية الذوبانية وتكوين الراسب هي عملية الانتشار عبر طبقة الراسب المكونة [٦].

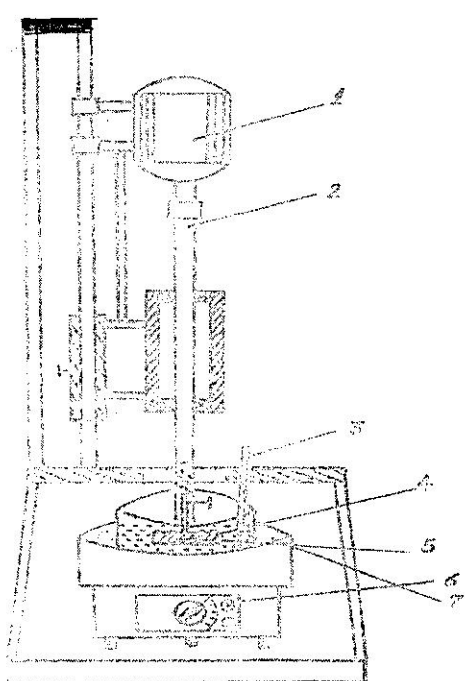
من جهة أخرى دلت حسابات طاقة التنشيط المؤثرة  $\Delta E$  والمحسوسة من معادلة ارينيوس جدول (٣) أنها قليلة التغير عملياً بمرور الزمن خلال حرارة التفاعل المستخدمة اما عند التفاعل باستخدام مساحات المقاطع الكبيرة لزجاج البزمومت المرئي الحاوي على ١٥% ZnO مع حامض الفسفوريك المركز يلاحظ انه بزيادة زمن التفاعل تقل سرعة الذوبانية بينما عند زمن (٢٠) دقيقة يلاحظ أنها ترتفع جدول (٢). أما قيم طاقة التنشيط الفعالة  $\Delta E$  تقل عند زيادة زمن التفاعل جدول (٣).

**جدول (٢) قيم سرعة ذوبان زجاج البزمومت المرئي الحاوي على ١٥% مول من ZnO في  $\text{H}_3\text{PO}_4$  باستخدام مساحة تفاعل ( $0.25-0.49\text{cm}^2$ )**

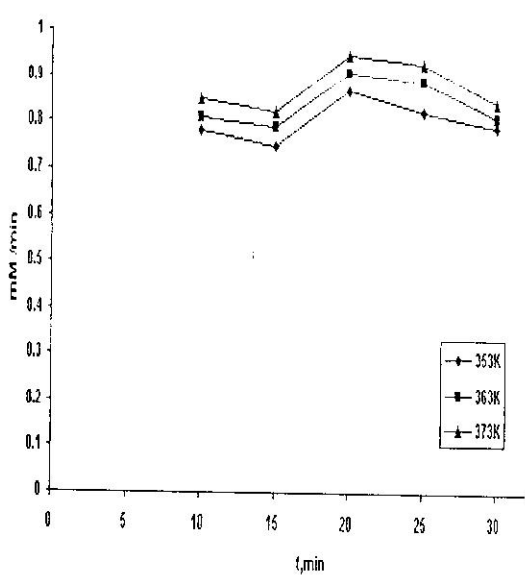
t(min)	$V_s$ For $S=(0.25\text{cm}^2)$			$V_s$ For $S=(0.49\text{cm}^2)$		
	353k	363k	373k	353k	363k	373k
10	0.78	0.81	0.85	0.75	0.8	0.83
15	0.75	0.79	0.82	0.71	0.76	0.78
20	0.87	0.91	0.95	0.81	0.84	0.85
25	0.82	0.89	0.93	0.78	0.8	0.82
30	0.79	0.81	0.84	0.7	0.75	0.72



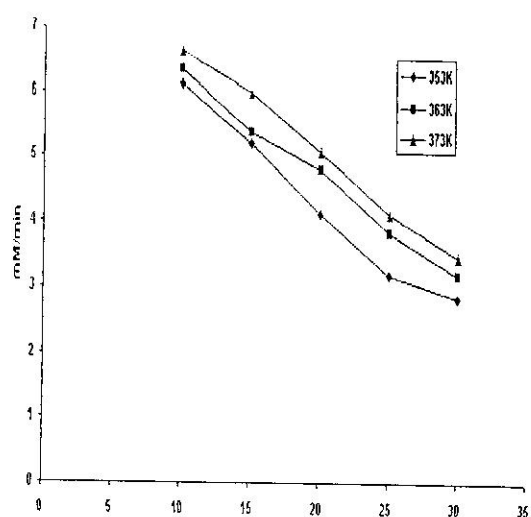
شكل (٣): العلاقة بين سرعة الذوبانية والزمن لزجاج البزمومث المرئي الحاوي على ١٥٪ اوكسيد الزنك وبدرجات حرارية مختلفة و

$$S=0.09 \text{ cm}^2$$


شكل (١): جهاز القرص الدوار المستعمل في الدراسة الحرافية للذوبانية

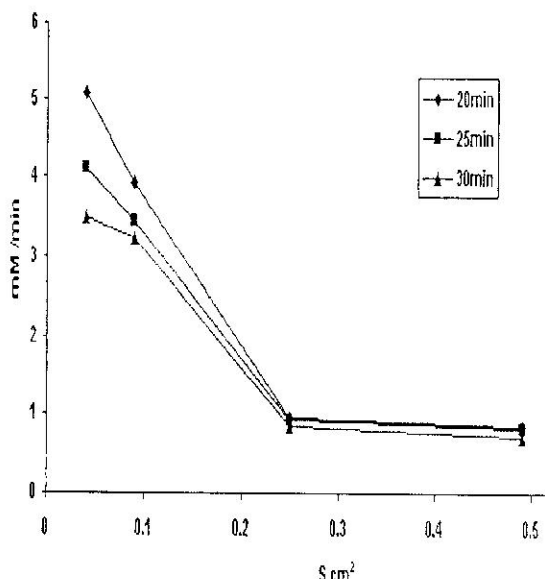


شكل (٤): العلاقة بين سرعة الذوبانية والزمن لزجاج البزمومث المرئي الحاوي على ١٥٪ مول اوكسيد الزنك وبدرجات حرارية مختلفة

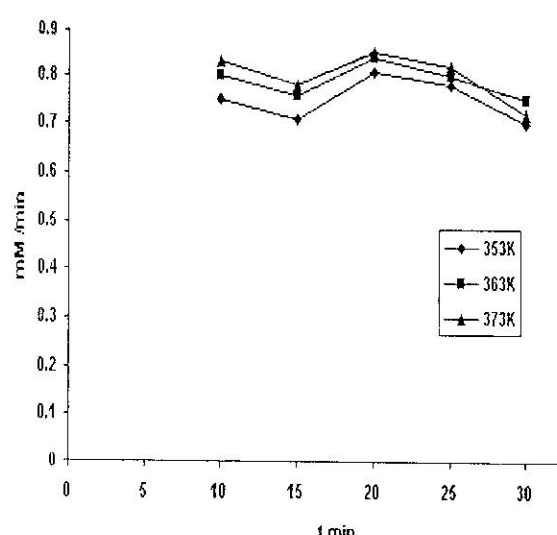
$$S=0.25 \text{ cm}^2 \text{ باستخدام}$$


شكل (٢): العلاقة بين سرعة الذوبانية والزمن لزجاج البزمومث المرئي الحاوي على ١٥٪ مول اوكسيد الزنك بدرجات حرارية مختلفة

$$S=0.04 \text{ cm}^2$$



شكل (٦): العلاقة بين سرعة الذوبانية ومساحات مقطع تفاعل مختلفة لزجاج البزموت الحاوي على ١٥٪ مول أوكسيد الزنك بأزمان مختلفة



شكل (٥): العلاقة بين سرعة الذوبانية والזמן لزجاج البزموت المرئي (١٥٪) مول أوكسيد الزنك بدرجات حرارية مختلفة و مساحة مقطع  $S=0.49 \text{ cm}^2$

## References

- 1-Bruton, T.M ;Hill, O. F; Whiffin P. A. 1976, The growth of some gamma bismuth oxide crystals , J .Cryst. Growth . 32: 90- 95 ..
- 2-Greid, T; Confland, P; Novogrock, B; Thomas, D. 1986 ,Stability range and crystal structure of oxygen deficient solid solution  $\text{Cd}_x\text{O}$  ( 1.5- $x/2$ ). J . Solid .State .Chem. 63: 160 .
- 3-Robokcen, A. E; Belasova, G.V. 1991. Materials of crystal; synthesis, structures, properties , 99 ( in Russian ).
- 4-Levin, E.M,Roth, R.S. 1964. Polimorphism of sesquin oxide Effect of oxide addition on the Polimorphism of  $\text{Bi}_2\text{O}_3$ . J.research Nat. Bur. Stan 68:No2, 197.
- 5-Sillen, I.G; 1937. X-ray studies on bismuth trioxide Ark. Kemi mineral. Geol. 12:NO 18, 1-15.

- 6-Katritski, V.A;Mohammed, H.J. 2000.Formation of surface layers on the surface bismuth containing glass with purpose of using them as chemical sensors. Collection of the scientific wook of the 6<sup>th</sup> conference “Analysis of siberia and far east” Novosibirsk 36: 2000.
- 7-Tissot, P; Lartigue, H. 1988. Investigation system  $\text{GeO}_2\text{-Bi}_2\text{O}_3$ . Thermo. Chim . Acta , 127: 377- 383.
- 8-Atovema, L.O; Eroffava, L.N; Korosteleva, A.E; Shtenberg, V.G . 1984. Physical chemistry . 3.:1518- 1529.
- 9-Mohammed, H.J;Sabih,M.J.2003.  $\text{Bi}_{10}\text{Cd}_3\text{O}_{18}$  بلور الكادميوم الاحادية وزجاج البزموت المرئي الحاوي على ١٥٪ أوكسيد الكادميوم. accepted for publication .Iraqi . J.of chemistry . 29: No (4), 2003.

## Some of solubility properties of the visible bismuth glass containing 15% mole of ZnO with concentrated $H_3PO_4$

\*Hussain Jassem Mohammed

\* University of Karbala

### Abstract

The conditions for reaction of visible bismuth glass containing 15% mole of ZnO with phosphoric acid at different temperatures were studied by the rotary disc method.

The reaction gave a white precipitate on the visible bismuth glass surface.

The white precipitate was isolated and characterized by (X-ray) analysis. Some physico-chemical properties were studied such as the velocity of precipitate formation by the above method at the reaction area ( $0.04-0.49cm^2$ ) of different temperatures also the effective activation energy was determined and it was found to be between 10 and 33kJ\mole.